

# Селективное восстановление фуллерена $C_{60}$ металлами в нейтральной и щелочной среде. Взаимодействие $C_{60}$ с KOH

А. Л. Литвинов,\* Д. В. Конарев, Е. И. Юданова, М. Г. Каплунов, Р. Н. Любовская

Институт проблем химической физики Российской академии наук,  
Российская Федерация, 142432 Черноголовка Московской обл.  
Факс: (096) 515 3588. E-mail: lityin@cat.ictp.ac.ru

Изучено восстановление фуллерена  $C_{60}$  цинком и магнием в ДМФА как в присутствии, так и в отсутствие KOH. Фуллерен  $C_{60}$  восстанавливается в этих системах до анионов  $C_{60}^{n-}$  ( $n = 1, 2$  и  $3$ ), которые регистрировали методами оптической и ЭПР-спектроскопии. Магний восстанавливает  $C_{60}$  до моноаниона, Mg/KOH и Zn — до дианиона, а Zn/KOH — до трианионов. Гидроксид калия, аналогично KCN, при взаимодействии с  $C_{60}$  в ДМФА присоединяется к фуллерену. В бензонитриле реакция с KOH сопровождается генерированием моноаниона фуллерена. Обсуждается возможный механизм образования моноанионов фуллеренов в присутствии KOH. Изучена деградация анионов  $C_{60}^{n-}$  на воздухе.

**Ключевые слова:** фуллерен  $C_{60}$ , анионы  $[C_{60}(\text{OH})_x]^-$ ; спектроскопия ЭПР, оптическая спектроскопия.

Исследование анион-радикальных солей фуллеренов как в растворе, так и в твердом состоянии<sup>1–5</sup> представляет большой интерес в связи с тем, что соединения, содержащие  $C_{60}^{n-}$ , обладают необычными проводящими и магнитными свойствами<sup>6–8</sup>. Анионы  $C_{60}^{n-}$  ( $C_{70}^{n-}$ ) ( $n = 1–6$ ) можно генерировать электрохимическими или химическими методами<sup>9–17</sup>. Изучено<sup>13–15</sup> восстановление фуллеренов в водных растворах ТГФ или ДМСО под действием Zn, Sn или сплава Al—Ni в присутствии щелочи, а также в результате реакции  $C_{60}$  с NaH, NaBH<sub>4</sub> и Na<sub>2</sub>S<sub>2</sub>O<sub>4</sub>. Анионы фуллеренов (особенно анионы в высших степенях восстановления) в присутствии воды неустойчивы, и для синтетических целей желательно использовать безводные растворители. Известно, что  $C_{60}$  селективно восстанавливается в безводном ДМФА тиолами в присутствии карбонатов щелочных металлов<sup>16</sup> и ртутью в безводном ТГФ в присутствии галогенидов тетраалкиламмония<sup>17</sup>.

В настоящей работе изучено восстановление  $C_{60}$  до анионов  $C_{60}^{n-}$  ( $n = 1–3$ ) в безводном ДМФА металлами (Zn и Mg) в нейтральной и щелочной средах. Образование анионов  $C_{60}^{n-}$  регистрировали методами оптической и ЭПР-спектроскопии. Впервые получены данные о присоединении KOH к  $C_{60}$ . В бензонитриле эта реакция сопровождается генерированием моноанион-радикалов фуллеренов. Обсуждается возможный механизм образования моноанионов фуллеренов в присутствии KOH. Установлено, что окисление анион-радикалов  $C_{60}^{1-}$  и  $C_{60}^{3-}$ , в отличие от дианионов, приводит к продуктам, характеризующимся узкими сигналами в спектрах ЭПР.

## Экспериментальная часть

Использовали фуллерен  $C_{60}$  99.5%-ной чистоты. Диметилформамид сушили KOH и молекулярными ситами, после чего перегоняли над CaH<sub>2</sub> при пониженном давлении в атмосфере аргона (непосредственно перед опытами). Бенzonитрил (БН) перегоняли над натрием в атмосфере аргона.

Спектры ЭПР регистрировали при температуре 77 К на радиоспектрометре SÉ/X 2544 («Radiopan», Познань) с частотой магнитной модуляции 100 кГц, применяли ядерный магнитометр MCM101.

Оптические спектры регистрировали через 1 ч и через 1 сут после начала реакции на спектрофотометре СФ-8 при ~20 °C в диапазоне длин волн 400–1600 нм. Измерения выполняли в атмосфере аргона.

Реакции проводили в герметичной кварцевой колбе объемом 4 мл с кюветой толщиной 0.5 см и объемом 1 мл. Реакционную смесь трехкратно дегазировали. Фуллерен восстанавливали при интенсивном перемешивании в атмосфере аргона при ~20 °C смесей 5 мг (0.007 ммоля)  $C_{60}$  с порошком металла ( $M = \text{Zn}, \text{Mg}$ ), KOH и M/KOH (M/KCN) в 5 мл ДМФА в течение соответственно 20–60, 20–60 и 60 мин в мольном соотношении 1 : 50, 1 : 50 : 50 и 1 : 50. Качественными признаками окончания реакции являлось полное растворение фуллерена и изменение исходной окраски раствора.

По окончании реакции раствор замораживали и регистрировали спектр ЭПР. Для изучения деградации анионов фуллеренов раствор нагревали до ~20 °C и перемешивали на воздухе 2 мин, после чего его снова замораживали и измеряли спектр ЭПР.

Для измерения оптических спектров растворы готовили аналогично, в расчете на концентрацию  $C_{60}$  в растворе 0.2 мг·мл<sup>-1</sup>.

Таблица 1. Литературные (I) и полученные в настоящей работе (II) данные оптической и ЭПР-спектроскопии для анионов фуллерена  $C_{60}$

| Анион                    | Длина волны/нм                   |                     | Значение $g$ -фактора ( $T = 77$ К)           |                                   |
|--------------------------|----------------------------------|---------------------|---|-----------------------------------|
|                          | I <sup>a</sup>                   | II                  | I   | II                                |
| $C_{60}^{1-}$            | 1080, 1001, 936                  | 1081, 1001, 939     | 1.9950, 2.0000 <sup>b</sup>                   | 1.9967, 2.0000                    |
| $C_{60}^{2-}$            | 1332, 957, 844                   | 1314, 951, 831      | 2.000, центр триплетного спектра <sup>b</sup> | 2.0001, центр триплетного спектра |
| $C_{60}^{3-}$            | 1378, 1002, 868, 796             | 1364, 987, 869, 777 | 2.002 <sup>c</sup>                            | 2.0025                            |
| $C_{60}(\text{OH})_x^-$  | —                                | 1080, 958, 838, 485 | —   | —                                 |
| $C_{60}(\text{CN})_x^-$  | —                                | 1074, 936, 843, 628 | —   | —                                 |
| $C_{60}(\text{OMe})_x^-$ | 1080, 920, 598, 536 <sup>d</sup> | —                   | —   | —                                 |

<sup>a</sup> В растворе БН <sup>12</sup>. <sup>b</sup> См. лит.<sup>10</sup> <sup>c</sup> См. лит.<sup>11</sup> <sup>d</sup> См. лит.<sup>19</sup>

### Обсуждение полученных результатов

Для селективного восстановления фуллеренов в безводной среде за основу был взят метод<sup>13</sup> восстановления  $C_{60}$  металлами в щелочной среде в смеси полярного растворителя с водой. В качестве растворителя использовали ДМФА, способный растворять как KOH, так и анионы фуллерена. В контрольном опыте с раствором  $C_{60}$  в чистом ДМФА в инертной атмосфере оптические спектры и спектры ЭПР раствора не менялись в течение 1 сут.

Анионы фуллерена  $C_{60}^{n-}$  проявляют характерные спектры ЭПР и полосы поглощения (ПП) в видимой и ближней ИК-области, положение которых слабо зависит от природы растворителя или противоиона<sup>2,12,18</sup>. Исследование оптических и ЭПР-спектров растворов  $C_{60}$  в процессе реакции позволяет однозначно определить образование различных анионов фуллерена.

**Восстановление фуллерена  $C_{60}$  магнием.** При добавлении Mg к раствору  $C_{60}$  в ДМФА фуллерен восстанавливается с образованием моноанион-радикала  $C_{60}^{1-}$ , оптический спектр которого содержит интенсивные ПП при 1081, 1001 и 939 нм (табл. 1). В спектрах ЭПР этих растворов (рис. 1, a) имеются два налагающиеся сигнала, характерные для замороженных растворов моноанионов  $C_{60}^{1-}$  ( $g_1 = 1.9967$ ,  $\Delta H_{pp1} \approx 5$  Гц) и продуктов его окисления ( $g_2 = 2.0000$ ,  $\Delta H_{pp2} \approx 1.5$  Гц).<sup>10,11</sup> Линии, соответствующие различным значениям  $g$ -факторов ( $g_1$  и  $g_2$ ), имеют различные ширины и насыщаются по-разному, т.е. эти сигналы относятся к независимым спинам. Под действием кислорода воздуха интенсивность узкого сигнала с  $g_2$  вначале (15–20 мин) увеличивается (рис. 1, b), а затем (в течение 40–60 мин) падает до полного исчезновения сигнала, тогда как интенсивность широкой линии с  $g_2$  сразу начинает уменьшаться и через 40–60 мин линия полностью исчезает.

**Восстановление фуллерена  $C_{60}$  цинком.** Цинк, в отличие от Mg, восстанавливает фуллерен до дианиона  $C_{60}^{2-}$ , в оптическом спектре которого присутствуют ПП при 1314, 951 и 831 нм (см. табл. 1). Спектр ЭПР (рис. 2, a) совпадает с наблюдаемыми ранее<sup>9–11</sup> спектрами анионов  $C_{60}^{2-}$ . Боковые компоненты расположены на расстоянии 12 Гц, что, по-видимому, соот-

ветствует температурно-заселенному триплетному состоянию  $C_{60}^{2-}$ . Центральная часть спектра представляет асимметричную линию, что также отвечает триплету с практически нулевым расщеплением<sup>9</sup>. Под действием воздуха интенсивность сигнала уменьшается, но форма спектра при этом не изменяется (рис. 2, b), и через 30–40 мин сигнал ЭПР полностью исчезает.

**Восстановление фуллерена  $C_{60}$  магнием в присутствии KOH.** При добавлении KOH в систему  $C_{60}$ –Mg в ДМФА фуллерен восстанавливается до дианиона  $C_{60}^{2-}$ . Вначале образуется анион-радикал  $C_{60}^{1-}$ , а затем дианион  $C_{60}^{2-}$ . В течение 20 мин раствор приобретает красную окраску и в оптических и ЭПР-спектрах появляются сигналы, характерные для анион-радикала  $C_{60}^{1-}$ . Через 1 ч окраска раствора меняется на красно-коричневую, а в оптическом спектре наблюдаются только ПП, характерные для дианиона  $C_{60}^{2-}$ . Сигнал ЭПР также отвечает дианиону  $C_{60}^{2-}$ . Далее в

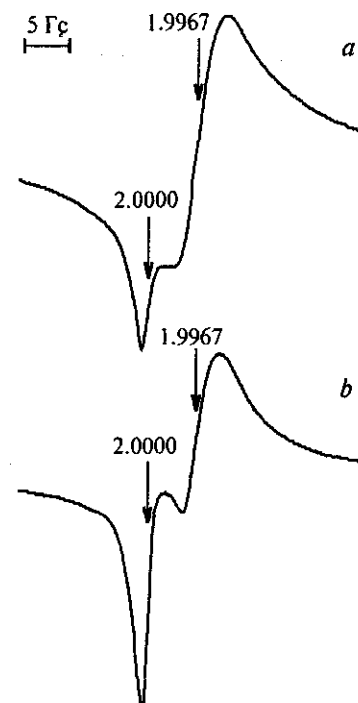


Рис. 1. Спектры ЭПР замороженного раствора моноанион-радикала  $C_{60}^{1-}$  ( $C_{60}$  с KOH в БН) до (a) и после его экспозиции на воздухе в течение 20 мин (b).

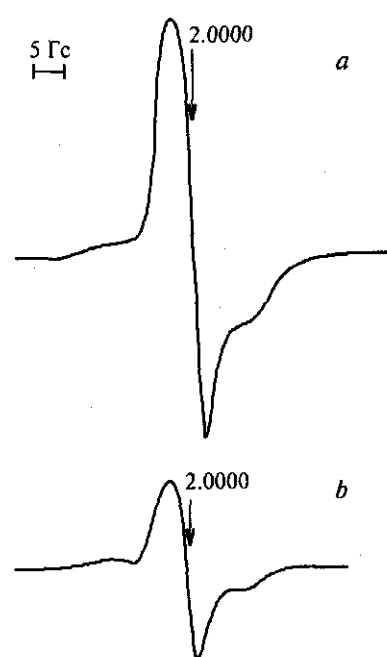


Рис. 2. Спектры ЭПР замороженного раствора дианиона  $C_{60}^{2-}$  ( $C_{60}$  с  $Mg/KOH$  в ДМФА) до (а) и после его экспозиции на воздухе в течение 20 мин (б).

течение 1 сут оптический и ЭПР-спектры раствора не меняются. Таким образом, в течение 1 ч в растворе селективно образуется  $C_{60}^{2-}$  и восстановление дальше не идет.

**Восстановление фуллерена  $C_{60}$  цинком в присутствии KOH.** В присутствии Zn и KOH в ДМФА фуллерен восстанавливается до трианион-радикала  $C_{60}^{3-}$ , в оптическом спектре которого проявляются ПП при 1364, 987, 869 и 777 нм, характерные для  $C_{60}^{3-}$  (см. табл. 1). Спектр ЭПР представляет собой синглет с  $g$ -фактором, равным 2.0025, и  $\Delta H = 4.5$  Гс (рис. 3, а). При окислении трианион-радикала  $C_{60}^{3-}$  появляется узкий сигнал ЭПР с  $g = 2.0008$  и  $\Delta H = 1.8$  Гс

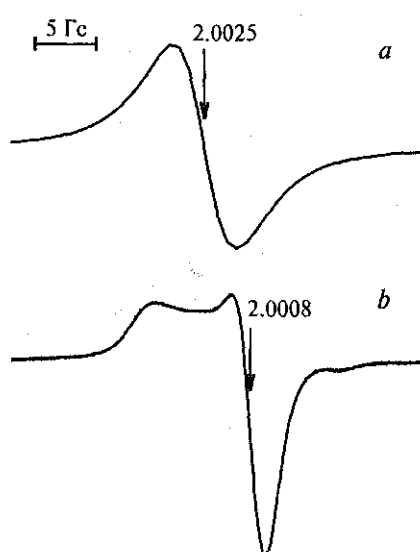


Рис. 3. Спектры ЭПР замороженного раствора трианион-радикала  $C_{60}^{3-}$  ( $C_{60}$  с  $Zn/KOH$  в ДМФА) до (а) и после его экспозиции на воздухе в течение 20 мин (б).

(рис. 3, б), как и в случае окисления моноаниона  $C_{60}^{1-}$ .

Изучение спектров ЭПР при деградации анион-радикалов  $C_{60}^{1-}$  и  $C_{60}^{3-}$  на воздухе показало, что интенсивность широкого сигнала ( $g_1 = 1.9967$  для  $C_{60}^{1-}$  и  $g = 2.0025$  для  $C_{60}^{3-}$ ) уменьшается при окислении; одновременно возникает узкий сигнал ( $g_2 = 2.0000$ ) и увеличивается его интенсивность. Узкий сигнал ЭПР, по-видимому, связан с образованием продуктов окисления, например анион-радикальных частиц  $C_{60}O_2^{1-}$ , которые неустойчивы на воздухе. Ранее<sup>20</sup> отмечалось, что окисление анион-радикалов  $C_{60}^{1-}$  на воздухе<sup>20</sup> приводит к чистому фуллерену. Вероятно, с этим связано исчезновение сигнала ЭПР при продолжительной экспозиции растворов на воздухе. При окислении дианионов  $C_{60}^{2-}$  новые сигналы ЭПР не возникают.

Восстановление  $C_{60}$  цинком в ДМФА до дианионов согласуется с окислительно-восстановительными потенциалами Zn и  $C_{60}$  ( $E(Zn/Zn^{2+}) = -0.76$  В,<sup>21</sup>  $E(C_{60}^{1-}/C_{60}^{2-}) = -0.72$  В в ДМФА).<sup>22</sup> В присутствии KOH цинк восстанавливает  $C_{60}$  до трианиона, поскольку окислительно-восстановительный потенциал реакции  $Zn + 4 OH^- \rightarrow ZnO_2^{2-} + 2 H_2O + 2 e^-$  в ДМФА составляет  $-1.215$  В, что может быть достаточно для восстановления  $C_{60}$  до трианиона ( $E(C_{60}^{2-}/C_{60}^{3-}) = -1.31$  В).<sup>21</sup> Металлы Zn и Mg в менее полярном растворителе, например бензонитриле, не восстанавливают фуллерен  $C_{60}$ . Интересно, что Mg, обладая более отрицательным окислительно-восстановительным потенциалом по сравнению с Zn,<sup>22</sup> восстанавливает  $C_{60}$  в ДМФА в нейтральной среде только до моноанионов, а в щелочной среде — до дианионов.

Таким образом, фуллерен  $C_{60}$  в ДМФА восстанавливается металлами как в нейтральной, так и в щелочной среде (табл. 2), причем Mg восстанавливает  $C_{60}$  только до моноанион-радикала  $C_{60}^{1-}$ . Использование в качестве восстановителей  $Mg/KOH$  или  $Zn$  и  $Zn/KOH$  в ДМФА позволяет селективно генерировать соответственно дианионы и трианионы фуллеренов.

**Взаимодействие фуллерена  $C_{60}$  и KOH (KCN).** Добавление KOH к раствору фуллерена  $C_{60}$  в ДМФА

Таблица 2. Образование анионов фуллерена при взаимодействии  $C_{60}$  с различными системами в ДМФА

| Система   | $C_{60}^{1-}$ | $C_{60}^{2-}$ | $C_{60}^{3-}$ | $C_{60}(OH)_x^{1-}$<br>( $C_{60}(CN)_x^{-}$ ) |
|-----------|---------------|---------------|---------------|---|
| Mg        | +             | —             | —             | —   |
| Mg/KOH    | —             | +             | —             | —   |
| Zn        | —             | +             | —             | —   |
| Zn/KOH    | —             | —             | +             | —   |
| KOH (KCN) | ○             | —             | —             | +   |
| KOH в БН  | +             | —             | —             | —   |

**Примечание.** Использованы следующие обозначения:  
+ — образование аниона, ○ — образование аниона в качестве примеси.

приводит к появлению в оптическом спектре ПП при 1080, 958 и 838 нм (см. табл. 1). Слабую ПП при 1080 нм можно связать с образованием моноаниона  $C_{60}^{+}$ , однако наиболее интенсивная ПП при 958 нм не соответствует моноаниону  $C_{60}^{+}$ .

Ранее<sup>23</sup> было показано, что в оптических спектрах растворов фуллерена  $C_{60}$  в присутствии KCN в ближней ИК-области присутствует ПП с максимумом при 936 нм, которая связана с образованием анионов цианофуллерена  $C_{60}(CN)_x^{+}$ . Для аниона метоксифуллерена  $C_{60}OMe^-$  в бензонитриле также характерна<sup>19</sup> ПП при 920 нм. Чтобы провести отнесение ПП, мы исследовали оптические спектры растворов смесей фуллерена  $C_{60}$  с KOH и с KCN как в ДМФА, так и в БН.

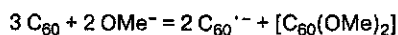
Добавление KCN к раствору фуллерена  $C_{60}$  в ДМФА приводит к образованию раствора зеленого цвета, в оптическом спектре которого присутствуют ПП при 1074, 936 и 843 нм (см. табл. 1). Наибольшую интенсивность имеет ПП при 936 нм.

Интересно отметить, что в менее полярном БН в присутствии KOH фуллерен образует растворы, в спектрах поглощения которых присутствуют ПП с максимумами при 1080, 1001 и 939 нм, характерные для моноаниона  $C_{60}^{+}$ . В то же время добавление KCN в раствор  $C_{60}$  в БН не приводит к заметным изменениям в оптических спектрах.

Таким образом, ПП с максимумом при 920—940 нм характерны для анионов замещенных фуллеренов. Аналогично KCN, KOH, по-видимому, может присоединяться к  $C_{60}$  в растворе ДМФА с образованием анионов гидроксифуллерена  $C_{60}(OH)_x^-$ , в оптическом спектре которого появляется интенсивная ПП при 958 нм. Присутствие слабой ПП, соответствующей моноаниону  $C_{60}^{+}$ , указывает на его образование в небольших количествах. Напротив, в спектре продукта реакции в БН в аналогичных условиях в ближней ИК-области присутствуют только ПП моноаниона  $C_{60}^{+}$ , а ПП гидроксифуллерена не проявляются (см. табл. 2).

Образование анионов гидроксифуллерена можно объяснить высокой электрофильностью двойных [6-6]-связей фуллерена, по которым легко присоединяются нуклеофильные и радикальные частицы<sup>24–26</sup>. Взаимодействие фуллерена  $C_{60}$  с нуклеофилами ( $CN^-$ ,  $OMe^-$ ) приводит<sup>19,23</sup> к соответствующим анионам ( $C_{60}CN^-$ ,  $C_{60}OMe^-$ ).

Особенностью реакций присоединения является образование моноанионов фуллеренов, хотя сами нуклеофилы не обладают донорными свойствами, достаточными для восстановления  $C_{60}$ . Например, в БН с анионом  $OMe^-$  фуллерен образует<sup>23</sup> аддукт [ $C_{60}(OMe)_2$ ] и анион-радикалы  $C_{60}^{+}$ .



В нашем случае, вероятно, происходит аналогичная реакция. На первой стадии анион  $OH^-$  присоединяется к фуллерену с образованием аниона  $[C_{60}OH]^-$ . Анион  $[C_{60}OH]^-$ , по-видимому вследствие наруше-

ния делокализации  $\pi$ -электронов, является более сильным донором, чем анион-радикал  $C_{60}^{+}$  и способен восстанавливать фуллерен до анион-радикала.

Различие в соотношении  $C_{60}^{+}/[C_{60}OH]^-$  в ДМФА ( $C_{60}^{+}$  — побочный продукт) и БН ( $C_{60}^{+}$  — основной продукт) связано, по-видимому, с различием в окислительно-восстановительных потенциалах  $[C_{60}OH]^-$  и  $C_{60}^{+}$  в данных растворителях. При увеличении разницы между этими потенциалами практически все образующиеся анионы гидроксифуллерена сразу восстанавливают фуллерен до моноаниона  $C_{60}^{+}$ . В этом случае в оптическом спектре раствора в ближней ИК-области будут присутствовать только ПП моноаниона  $C_{60}^{+}$ , что и происходит в растворах БН.

В щелочной среде в растворах  $C_{60}$  в ДМФА в присутствии металлов анионы гидроксифуллерена не образуются. Вероятно, это связано с тем, что восстановление фуллерена металлами протекает значительно быстрее, чем присоединение KOH.

Таким образом, фуллерен  $C_{60}$  восстанавливается в ДМФА металлами Zn и Mg в нейтральной и щелочной средах с образованием анионов  $C_{60}^{n-}$  ( $n = 1, 2$  и 3). Селективное восстановление фуллеренов может быть использовано для препаративного получения солей, содержащих анионы фуллеренов. Гидроксид KOH аналогично KCN может присоединяться к фуллерену  $C_{60}$ . Генерирование моноанионов фуллеренов в присутствии KOH, по-видимому, связано с образованием анион-радикала гидроксифуллерена, который и восстанавливает фуллерен до анион-радикального состояния. При окислении анион-радикалов  $C_{60}^{+}$  и  $C_{60}^{+3-}$  возникают новые узкие сигналы ЭПР, связанные с образованием неустойчивых промежуточных параметрических продуктов ( $C_{60}O_2^{+}$ ), разложение которых приводит к исчезновению сигналов ЭПР.

Работа выполнена при финансовой поддержке Российской фонда фундаментальных исследований (проект № 00-03-32577a) и Российской программы «Фуллерены и атомные кластеры».

#### Список литературы

1. C. Bossara, S. Rigaut, D. Astruc, M. H. Delville, G. Felix, A. Fevrier-Bouvier, J. Amiell, S. Flandrois, and P. Delhaes, *J. Chem. Soc., Chem. Commun.*, 1993, 333.
2. P. Bhuyappa, P. Paul, J. Stinchcombe, P. D. W. Boyd, and C. A. Reed, *J. Am. Chem. Soc.*, 1993, **115**, 11004.
3. C. Boula, R. Subramanian, W. Kutner, M. T. Jones, and K. M. Kadish, *J. Electrochem. Soc.*, 1993, **140**, L130.
4. A. S. Lobach, N. F. Goldshleger, M. G. Kaplunov, and A. V. Kulikov, *Chem. Phys. Lett.*, 1995, **24**, 322.
5. С. П. Соловьевников, *Изв. АН, Сер. хим.*, 1996, 2256 [*Russ. Chem. Bull.*, 1996, **45**, 2141 (Engl. Transl.)].
6. M. J. Rosseinsky, *J. Mater. Chem.*, 1995, **5**, 1497.
7. P. W. Stephens, D. Cox, J. W. Lauher, L. Mihaly, J. B. Wiley, P.-M. Allemand, A. Hirsch, K. Holczer, Q. Li, J. D. Thompson, and F. Wudl, *Nature (London)*, 1992, **355**, 331.

8. Д. В. Конарев, Р. Н. Любовская, *Успехи химии*, 1999, **68**, 23 [*Russ. Chem. Rev.*, 1999, **68** (Engl. Transl.)].
9. D. Dubois and K. M. Kadish, *J. Am. Chem. Soc.*, 1991, **113**, 4364.
10. M. Khaled, R. T. Carlin, P. C. Trulove, G. R. Eaton, and S. S. Eaton, *J. Am. Chem. Soc.*, 1994, **116**, 3465.
11. D. Dubois, M. T. Jones, and K. M. Kadish, *J. Am. Chem. Soc.*, 1992, **114**, 6446.
12. D. V. Konarev, N. V. Drichko, and A. Graja, *J. Chim. Phys.*, 1998, **95**, 2143.
13. M. F. Wu, X. W. Wei, L. Qi, and Z. Xu, *Tetrahedron Lett.*, 1996, **37**, 7409.
14. X. Wei, Z. Suo, K. Zhou, Z. Xu, W. Zhang, R. Wang, H. Shen, and X. Li, *J. Chem. Soc., Perkin Trans. 2*, 1999, 121.
15. X. Wei, Z. Suo, K. Yin, and Z. Xu, *J. Organomet. Chem.*, 2000, **599**, 69; S. Takekuma, H. Takekuma, T. Matsumoto, and Z. Yoshida, *Tetrahedron Lett.*, 2000, **41**, 2929.
16. R. Sabramanian, P. Boulas, M. N. Vijayashree, F. D'Souza, M. T. Jones, and K. M. Kadish, *J. Chem. Soc., Chem. Commun.*, 1994, 1847.
17. M. T. Jones, K. M. Kadish, R. Subramanian, P. Boulas, and M. N. Vijayashree, *Synth. Met.*, 1995, **70**, 1341.
18. C. A. Reed and R. D. Bolkskar, *Chem. Rev.*, 2000, **100**, 1075.
19. S. Fukuzumi, I. Nakanishi, J. Maruta, T. Yorisue, T. Suenobu, S. Itoh, R. Arakawa, and K. M. Kadish, *J. Am. Chem. Soc.*, 1998, **120**, 6673.
20. X. Wei, Z. Suo, G. Yin, and Z. Xu, *J. Organomet. Chem.*, 2000, **599**, 69.
21. Ч. Манн, К. Барнес, *Электрохимические реакции в неводных системах*, Химия, Москва, 1974, 480 с. [C. K. Mann and K. K. Barnes, *Electrochemical Reactions in Nonaqueous Systems*, Marcel Dekker Inc., New York, 1970].
22. D. Dubois, G. Moninot, W. Kurner, M. T. Jones, and K. M. Kadish, *J. Phys. Chem.*, 1992, **96**, 7137.
23. M. Keshavarz, B. Knight, G. Srđanov, and F. Wudl, *J. Am. Chem. Soc.*, 1995, **117**, 11371.
24. М. Е. Вольпин, З. Н. Парнес, В. С. Романова, *Изв. АН, Сер. хим.*, 1998, 1050 [*Russ. Chem. Bull.*, 1998, **47**, 1021 (Engl. Transl.)].
25. Е. М. Белавцева, Е. В. Киченко, В. С. Романова, З. Н. Парнес, М. Е. Вольпин, *Изв. АН, Сер. хим.*, 1996, 876 [*Russ. Chem. Bull.*, 1996, **45**, 831 (Engl. Transl.)].
26. S. R. Wilson and Y. J. Wu, *J. Am. Chem. Soc.*, 1993, **115**, 10334.

Поступила в редакцию 8 октября 2001